

川崎製鉄技報  
KAWASAKI STEEL GIHO  
Vol. (1969) No.3

---

欧洲における焼結鉱製造の新技術について  
New Technique Applied for Sintering Process in Europe

満岡 正彦(Masahiko Mitsuoka)

---

要旨：

高炉の大型化と焼結鉱配合比の増大化の傾向について、高炉操業によよぼす焼結鉱品質の影響はますます顕著となってきている。諸外国においても焼結鉱の品質改善、安定化の研究がさかんに行なわれているが、この報告では、最近の欧洲における焼結鉱製造の新技術と、その成果について報告する。この報告で、紹介した新技術は、下記のとおりである。(1) 烧結鉱の化学的性質(主として Fe<sub>2</sub>O<sub>3</sub>)を測定して焼結鉱品質を測定する方法 (2) 烧結混合原料通気度の連続測定 (3) 混合原料中の水分の測定方法 (4) 烧結層表面の着火状況の監視 (5) 混合原料用注水を磁場にかける試験 (6) 適正操業曲線 (7) 返鉱による自働制御 (8) 耐粉碎性シート (9) 烧結鉱の再加熱

---

Synopsis :

The quality of sinter has a remarkable effect on the operation of blast furnaces, along with the recent tendency that inner volume gets larger and sinter ratio within the blast furnace charge becomes greater. In foreign countries many researches have been made on improvement and stabilization of sinter quality. In this report recent results of new technique applied for sintering process in Europe are described, covering such articles as follows: (1) Determination of sinter quality by the measurement of chemical properties, (2) Continuous measurement of the permeability of sinter mix. (3) Measurement of the moisture content of sinter mix. (4) Regulation of the ignition condition of the surface of sinter bed. (5) Effect on sintering of water subjected to the magnetic field. (6) Optimum curve for sintering. (7) Automatic control by the return fines. (8) Anti-degradation chute. (9) Heat treatment of sinter.

(c)JFE Steel Corporation, 2003

本文は次のページから閲覧できます。

## 欧洲における焼結鉱製造の新技術について

New Technique Applied for Sintering Process in Europe

満 岡 正 彦\*

Masahiko Mitsuoka

### Synopsis :

The quality of sinter has a remarkable effect on the operation of blast furnaces, along with the recent tendency that inner volume gets larger and sinter ratio within the blast furnace charge becomes greater.

In foreign countries many researches have been made on improvement and stabilization of sinter quality.

In this report recent results of new technique applied for sintering process in Europe are described, covering such articles as follows :

- (1) Determination of sinter quality by the measurement of chemical properties,
- (2) Continuous measurement of the permeability of sinter mix.
- (3) Measurement of the moisture content of sinter mix.
- (4) Regulation of the ignition condition of the surface of sinter bed.
- (5) Effect on sintering of water subjected to the magnetic field.
- (6) Optimum curve for sintering.
- (7) Automatic control by the return fines.
- (8) Anti-degradation chute.
- (9) Heat treatment of sinter.

### まえがき

近年高炉の大型化はますます進み、また、高炉原料としての焼結鉱の配合割合も増加してきている。したがって高炉の成績におよぼす焼結鉱品質の影響は大きく、常に安定した良い品質の焼結鉱を供給する必要に迫られている。しかるに焼結原料としての鉄鉱石は物理的性質および化学的性質などの変動があるために、常に安定した同一の操業状態で一定の良い品質の焼結鉱を生産することは容易ではない。

各国の焼結関係の研究者、現場技術者は、安定した良質の焼結鉱を生産するために種々の努力研究を重ねている。この報告は、最近の欧洲における

これら焼結鉱製造に関する新技術の研究状況、操業への応用状況についてまとめたものである。

### 1. 焼結鉱品質を判定する方法

現在焼結鉱の物理的および化学的試験方法としては、タンブラー・テスト、シャッター・テスト、などの強度試験方法や還元性試験などがあるが、サンプル採取から結果が出るまで早くても2時間程度を必要とする。焼結機の操業を定常化し安定した品質の焼結鉱を生産するには、生産した焼結鉱の品質に関する情報を、絶えず正確に早く知る必要がある。この件に関しては、特にベルギーのC.N.R.M研究所が積極的であり、焼結鉱の化学的性質を測定して、焼結鉱品質を正確、迅速に判

\* 水島製鉄所製銑部原料処理課掛長

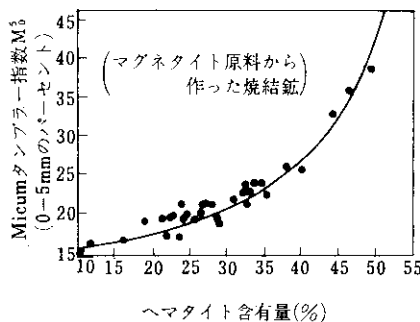


図1 Micumタンブラー指数 ( $M_0^5$ ) とヘマタイト含有量との関係（試験鍋の結果）

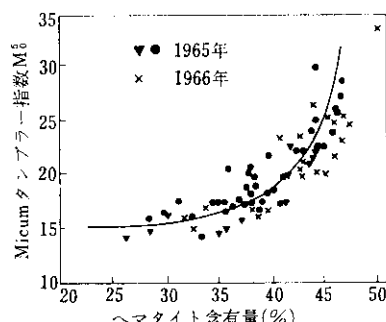


図2 Micumタンブラー指数 ( $M_0^5$ ) とヘマタイト含有量との関係（工業的試験）

定する方法を考え、試験鍋や工業的焼結機でその効果が確認されている。

以下にC.N.R.M研究所の成果を述べる。

### 1・1 化学的性質の測定による方法<sup>1)</sup>

焼結鉱の化学的、分子的構造が、焼結鉱の性質（強度・還元性など）に、重要な影響を与えることはよく知られている。焼結鉱の化学的、分子的構造の解析の手段としてのX線回折法は、従来学術的興味に基づくものがほとんどであり、直接生産工程の解明に適用された例はほとんどないが、C.N.R.M研究所は焼結プロセスの解明に、X線回折法を工業的に応用する方法を調査研究している。

C.N.R.M研究所では、試験鍋や工業的焼結機で生産された焼結鉱について、ヘマタイト含有量と焼結鉱の冶金学的性質（強度、還元性など）の間に基礎理論通りの関係があるかどうか、またどの程度の精度ある結果が得られるかについて試験を行なった。まず、試験鍋で製造した焼結鉱（原料化学成分：T.Fe 58.0%， FeO 5.3%， SiO<sub>2</sub> 6.5%， 成品化学成分：T.Fe 58.2%， CaO 7.2%， SiO<sub>2</sub> 5.3%， CaO/SiO<sub>2</sub>=1.36）について、X線回折によって決定されるヘマタイト含有量とMicumタンブラー指数との関係を調査したところ、図1のような結果を得た。同様に実際のプロセスにもこの方法を応用し、Espérance-Longdoz社の有効吸引表面積210m<sup>2</sup>という大型焼結機で生産した焼結鉱について、試験を行なってみた。この工場ではミネット鉱、スウェーデン鉱などを主な原料としており、この原料より製造した焼結鉱成績の化学分析値は、T.Fe 55.60%， CaO 8.5~9.0%， SiO<sub>2</sub> 5.5~6.0%， CaO/SiO<sub>2</sub> 1.5~1.6%であった。タンブラー試験は、通算250回、X線回折は850回行なった。この実際工程での試験結果を図2に示している。図1と図2をみると大体同じような結果となっており、ヘマタイト含有量が35%以下の場合には、ヘマタイト含有量が変わっても強度は余り変化していない。すなわちヘマタイト含有量が低い場合には、タンブラー

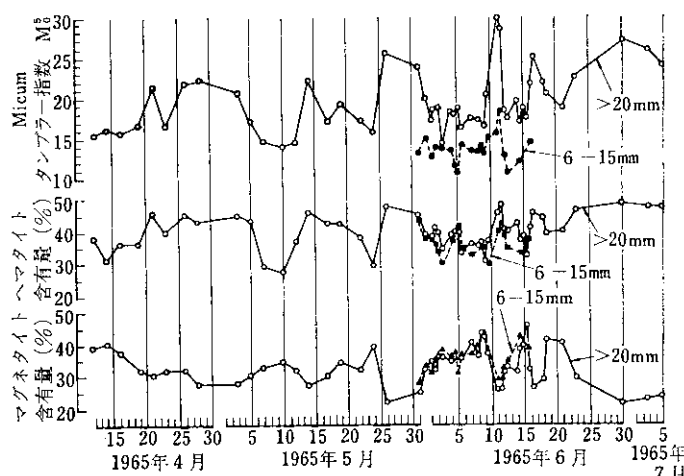


図3 マグネタイトおよびヘマタイト含有量とMicumタンブラー指数  $M_0^5$  の変化（工業的試験）

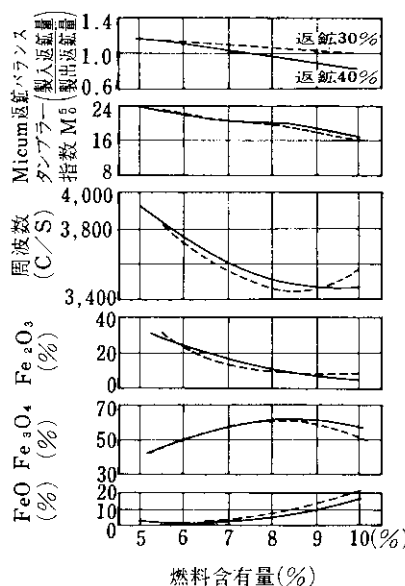


図 4 返鉱バランスにおよぼす燃料含有量、焼結鉱の強度、周波数、化学的組成の影響

一強度よりもヘマタイト含有量の方が焼結特性に対する検出力があることを意味している。したがって焼結鉱製造プロセスがヘマタイト含有量によって規則正しくコントロールされれば、タンブラー強度を変化させずにコークス切出量を調節することが出来、コークス節約が可能となる。

図3は工業的焼結機での操業例で、Micum タンブラー指数  $M_0^5$  とマグネタイト含有量、ヘマタイト含有量との関係を示している。図3を見ると

- (1) Micum タンブラー指数  $M_0^5$  がふえるとヘマタイト含有量もふえる。
- (2) Micum タンブラー指数  $M_0^5$  が減るとマグネタイト含有量はふえる。
- (3) 焼結鉱の粒度が变っても化学的成分の増減は同じ傾向で变化する。

など常識的な結果となっている。このようにヘマタイト含有量はタンブラー指数  $M_0^5$  やマグネタイト含有量と密接な関係があるのでX線回折法による化学成分(ヘマタイト含有量)測定が焼結鉱品質決定に有効なことが判る。

## 1・2 磁気的性質測定による方法<sup>2)~4)</sup>

この方法は、C.N.R.M の研究所で開発されたもので、前述のX線回折法を併用しながら、焼結

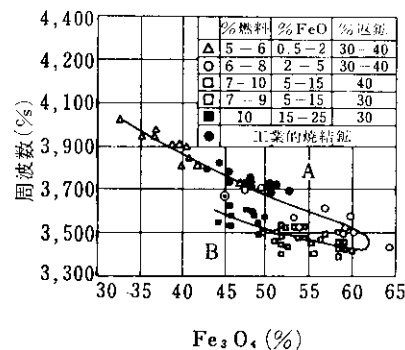


図 5 周波数と磁鐵鉱含有量の関係

鉱の化学的性質( $Fe_3O_4$ )を磁気的に測定して品質を判定しようとするものである。この測定装置は2つのコイルを備え付けた垂直円筒からできており、これを用いて測定するには、まず空の円筒の周波数を測定し、つぎに粉碎した焼結鉱をその円筒の中に入れたのち周波数を測定する。粉碎した焼結鉱はコイルのインダクタンスを増すので共振周波数は減少する。

この相対的な周波数の変化が、焼結鉱の透磁率すなわちマグネタイト含有量に対する指針をあたえる。

図4に試験鍋で製造された焼結鉱についての試験結果を示す。図4によると一般にいわれてゐるように燃料含有量が多くなるにつれて発生返鉱と切出返鉱の比(返鉱バランス)およびヘマタイト含有量は低くなり、他方Micum タンブラー強度とFeOの含有量は増加している。さらに周波数は減じ、マグネタイト含有量は増加するが、ある燃料含有量で周波数は最低となり、マグネタイト含有量は最高となる。

図5は、普通に焼成された焼結鉱の場合(曲線A)と燃料が多くなり焼き過ぎとなった焼結鉱の場合(曲線B)について、マグネタイト含有量と周波数の関係を示したものである。いずれもマグネタイト含有量の増加につれて周波数は減少するが、曲線Bの場合にはFeOが高くなるため周波数は相対的に低くなっている。また図6には、周波数とMicum タンブラー指数  $M_0^5$  の関係を示す。

コークス配合量を多くするとマグネタイト含有

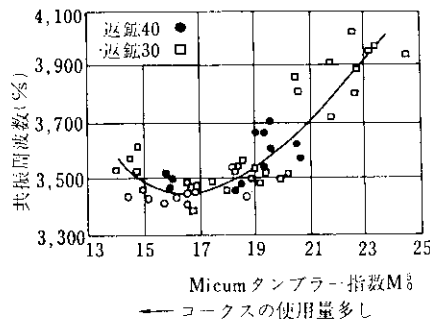


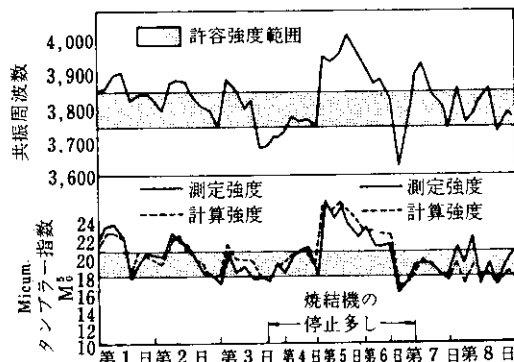
図 6 周波数と Micum タンブラー指数との関係

量が増加するので、周波数は小さくなっている。

次に実際の工程に適用した例として、日産4500tの焼結工場で  $M_0^5$  と共振周波数との関係について試験した例<sup>3)</sup>について述べる。この工場では、試料として20~48メッシュまで粉碎した焼結鉱を約500g採取して試験を行なっている。この試験によって求められた磁気的指数（共振周波数）の平均値とタンブラー指数  $M_0^5$  の時間的推移を図7に示す。

点線は、1・1で述べたようにX線回折法によって求めたヘマタイト含有量と強度との関係から強度を計算してプロットしたものであるが、この計算強度は図8に示すように、実測値との間にかなりの相関が見出されている。

実際操業では、燃料使用量は、磁気的指数が指定範囲より落ちた時に調節している。図9を見る限り周波数測定によって燃料にアクションをとった第二週(b)の方が、アクションをとらない第一週(a)よりもタンブラー強度はよく管理されていることがわかる。このことから周波数測定により  $M_0^5$  を制

図 7 焼結工場Aでテストした Micum タンブラー指数  $M_0^5$  と共振周波数の推移

御することは品質測定に良い結果をおよぼすことがわかる。

### 1.3 焼増重量の測定による方法

一般にコークスの使用量が少ないと、ヘマタイト含有量は増し、マグネタイト含有量は低下して焼結鉱の機械的強度が低下するといわれている。C.N.R.M研究所はこの原理に着目してマグネタイト含有量を簡便に測定して焼結鉱の品質を判定する方法を考えた。

この方法は次の通りである。採取した焼結鉱の試料を、化学分析を行なう場合と同じように粉碎し、これをマッフル炉で加熱する。そして焼成前後の重量増加を調べて焼増し重量とする。

この増量の割合は、もちろん焼結鉱の酸化度に逆比例する。この方法は簡単で、試験完了までの時間は2時間程度である。図10はEspérance-Longdoz社で操業中の焼結機の成品について試験を

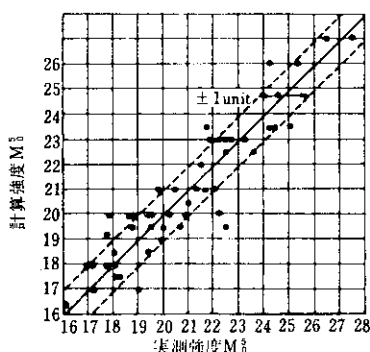
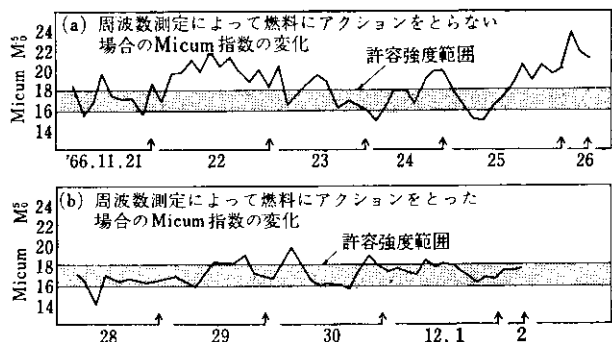


図 8 実測強度とX線回折による計算強度関係

図 9 周波数測定によるMicumタンブラー指数  $M_0^5$  の制御

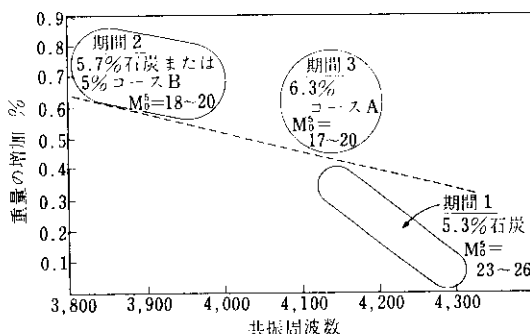


図 10 燃増重量と周波数の関係

行なった結果を示している。この場合 1・2 で述べた周波数の測定方法とこの方法と併用している。図 10 で点線より上の範囲は、十分な強度と十分な還元性を有する焼結鉱の領域である。さらにこの直線に傾斜があるということは、燃増または周波数の測定だけでは品質は決められないということを示している。図 10 で期間 1 の場合は、燃料は少なく機械的強度は不十分で、透磁率は小さく、酸化度は高い。期間 2 の場合にはコークス含有量の増加は強度の増加となり、透磁率は大きくなり、酸化度は低くなっている。期間 3 は燃料の品質と性質が違つておらず、焼結混合原料の組成も変っている。このように焼結混合原料の組成が鉱石の配合鉱柄が変更になつたりして大幅に変わったとき、燃増を透磁率で焼結鉱を比較することは出来ない。この両者の比較を行なうには、従来の古典的な強度試験、還元試験を行なってチェックする必要がある。

燃増法や透磁率の測定方法で品質を判定出来るのは、一定の原料で操業している場合に限られ、操業の大体の目安をたてることにある。

## 2. 焼結原料の特性測定および改善について

周知のように、焼結鉱の品質を向上し焼結機の生産性を最高に保つには、混合原料の特性一特に水分の適正添加による混合原料中の水分量を適正に保つ必要がある。以下に焼結原料特性としての水分量および最適水分量の検出方法、混合原料特性改善のため注水の性質を改善する方法について

述べる。

### 2.1 焼結混合原料通気度の連続測定<sup>5)</sup>

焼結機の操業には混合原料の水分を適正に保持し、混合原料の通気度を充分に管理する必要がある。試験鍋では、焼結原料の通気度を容易に測定することが出来るけれども工業的焼結機では困難である。

C. N. R. M 研究所では、実際の工業的焼結機で通気度を測定する方法として、混合原料の給鉱ホッパー内にパイプのゾンデを入れ、一定圧力または一定流量で空気を吹込み、その流量または圧力を測定して原料の通気度を測定する実験を行なっている。

図 11 に実験装置を示す。図 12 は工業的混合原料に対して、圧力を 30mm Aq と 50mm Aq で吹込んだ場合の実験結果を示している。図 13 はミネット鉱に対し、圧力 10, 30, 50mm Aq で空気を吹込んだ場合である。図 12 および図 13 の直線部分に着目すると、図 12 では水分が 0.1 % 上がると風量は 26 l/min 上昇し、図 13 では水分 0.1 % 上昇に対して ( $p=30\text{mm Aq}$ ) 42 l/min 上昇となり、水分と空気流量の間にかなり密接な関係がみられる。図 14 は試験鍋で測定した時の点火前通気度とゾンデによる空気流量との関係を示しているが、かなり良い関係を示している。

図 15 は、給鉱ホッパーを満槽(レベル 1,500mm)にしたとき、給鉱をやめたとき、低い給鉱ホッパー レベルのとき、テーブルフィーダーよりの排出をやめ給鉱だけ行なったとき、空槽にしたときの給鉱ホッパー レベルが空気流量におよぼす影響について調べた 1 例を示している。

この図をみれば判るように、給鉱ホッパー レベルの高さが満槽レベルから 500mm に低下するまでは、空気流量にそれほど大きい変化はあらわれないことを示している。

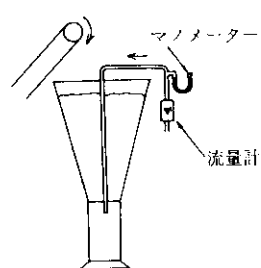


図 11 通気度測定装置

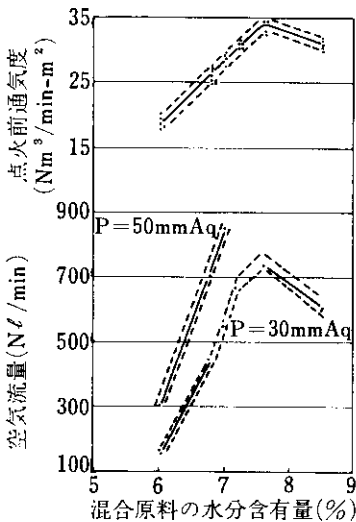


図 12 通気度、空気流量、水分の関係（工業的混合原料、流量 8 t/h）

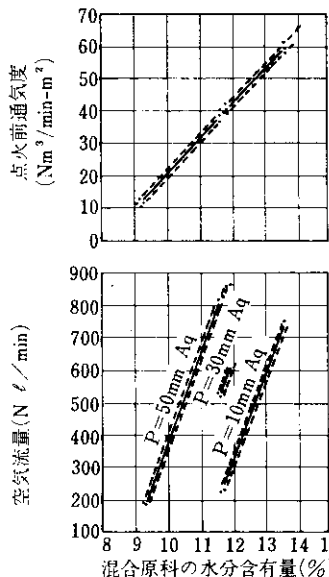


図 13 通気度、空気流量水分の関係（ミネット 65%，返鉱 30%，コークス 5%，流量 5 t/h）

図16は、A工場とB工場で行なった通気度と水分の関係についての工業的試験から、通気度をダイヤフラム差圧で示したものである。同図で①はA工場での試験の例で、圧力が100mmAqの場合で、空気流量は、オリフィスで測定した。精度は $\pm 0.15\% \text{H}_2\text{O}$ であった。②はB工場での試験の例で、15分おきにメインの流れから付属ホッパーにサンプリングして測定を行なった。空気圧は50±0.5mmAqであった。

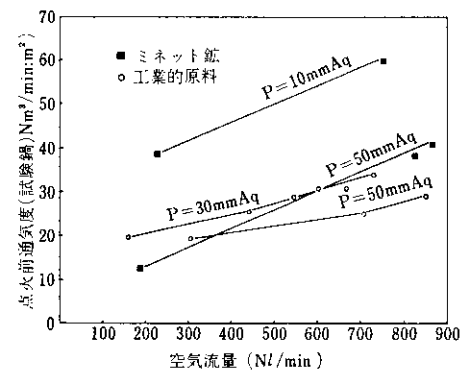


図 14 通気度と空気流量の関係

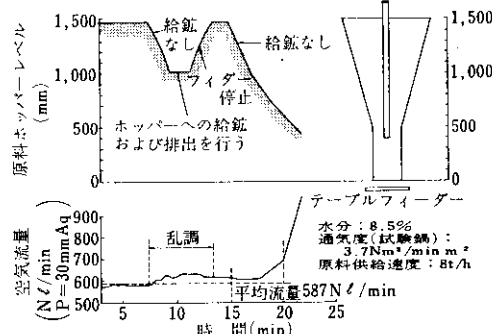


図 15 空気流量におよぶす給鉱ホッパーレベルの影響（工業的原料）

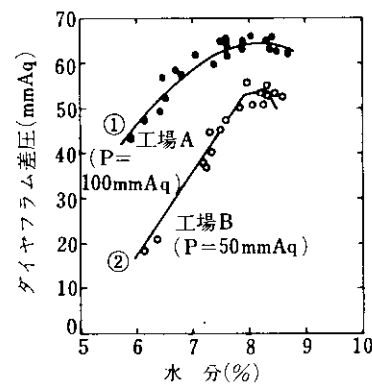


図 16 通気度と水分の関係

## 2.2 混合原料中の水分の測定

焼結混合原料の水分の測定方法には、連続的、または、オンラインで行なう方法として、第一に中性子水分計による方法がある。この方法は、我国でも広く利用されているが、鉱石中の結晶水分を検出してしまうこと、 $\gamma$ 線によって焼結混合原料密度を補正しなければならないことなどの欠点がある。

最近 Brhacek<sup>6)</sup>は電気回転炉の中に一定体積の焼結混合原料を装入し、蒸発した水分をコンデンサー中に凝縮させ、これを一定体積のビュレットに導き、このビュレットが満杯になる時間( $t$ 秒)を自動的に測定し水分の体積パーセントを $f$ (%)とすると、 $f = k_1/t$  ( $k_1$ : 常数) の式より、水分の体積パーセントを求める方法を発表している。この方法は直接的でもあり、機構上の問題一たとえば配管中に水分が残るなど—が解決されていれば非常に興味ある方法であろう。

また別の新しい方法としては、Berry の基礎的研究<sup>7)</sup>に端を発するもので原料中の水分の測定に電気伝導度を応用する方法<sup>8)</sup>がある。この方法は消石灰のようにイオン化する原料を含む場合は使用出来ない。ベルギーのForges de la Providence 社では、図17に示すように、給鉱ホッパー内部に絶縁されている1対の金属製電極をおいて、電気伝導度の変化を測定することによって混合原料中の水分を測定している。

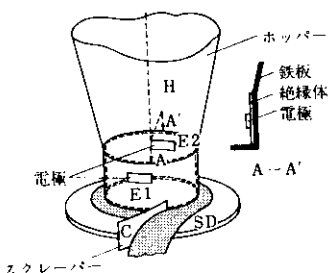


図17 焼結混合原料の電気伝導度による水分の測定用電極の配置

### 2.3 焼結層表面の着火状況の監視<sup>9)</sup>

焼結層表面の着火状況は焼結層の外的要因(バーナーの着火強度、点火炉下の負圧、焼結機速度)および混合原料の特性(原料粒度、表面のカットの程度、水分、燃料)で決って来る。ベルギーのCockerill-Ougrée 社の Marchienne 工場では、図18に示すように、焼結層表面の相対的輻射度測定用の特殊輻射高温計を備えつけて、相対的輻射度と混合原料中の水分との関係を調べる実験を行なっている。この場合、点火炉下の鍋下の負圧は

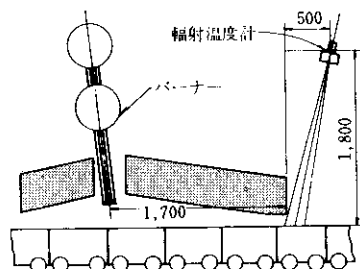


図18 輻射温度計の配置

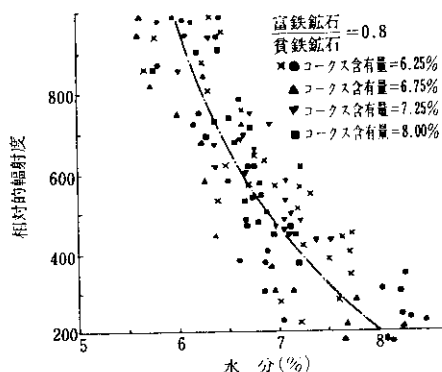


図19 相対的輻射度と水分の関係

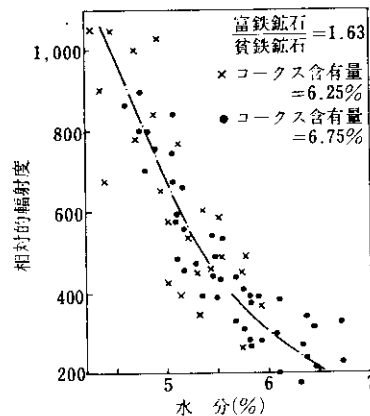


図20 相対的輻射度と水分の関係

400~500mm Aq に調節されており、また焼結層上層の単位面積当たりのガス量も調節出来るようになっているので、これらを一定にして相対的輻射度と水分の関係を調べたところ、記録計にあらわれる相対的輻射度と混合原料中の水分とは関係のあることがわかった。図19、図20は富鉄鉱石と貧鉄鉱石の配合重量比が 0.8 および 1.63 の場合についての相対的輻射度と水分との関係を示す。

これらの図より、相対的輻射度の測定によって得られる水分のバラツキは、0.3~0.4%であり、相対的輻射度は焼結混合原料の水分含有量が増加するにつれて減少することがわかる。この結果は焼結混合原料を焼結機のパレット上に給鉱してから約1分後にわかるので、燃料が定常に切出されている場合、水分の変動が速やかに把握出来る。この工場では、操業の不調をこの記録計で速かに把握しアクションをとっている。

#### 2.4 混合原料用注水を磁場にかける試験<sup>9)</sup>

ソ連のYugok焼結工場では、V. I. Klassen<sup>10)</sup>の磁場にかけた水の性状についての基礎的実験に基づいて、これをミキサーに注水することを考えた。すなわち0.6m/secの速度で流しながら、100kA/mの磁場にかけた工業用水および飲料水を注水を使って、試験鍋による焼結試験を行なっている。この結果によると、原料精鉱中の-1.6mmの割合は28%低下し、他の原料では14%低下した。炎前線速度は、8.3mm/minから9.1mm/minに上昇し、成品強度も3%上昇した。工業的焼結機の試験では、1966年9月に、ミキサー前で160kA/mの二つの永久磁石装置を通しながらの注水を行ない、焼結操業を行なった。100%選鉱処理をした精鉱で磁気的に処理した水を使用した場合混合原料中の-1.6mmは25%低下し、炎前線速度は10.9%増大した。また、40%の篩下粗鉱を含む原料では余り影響がなかった。したがって、多量の微粉選鉱精鉱を含む混合原料の焼結の場合に

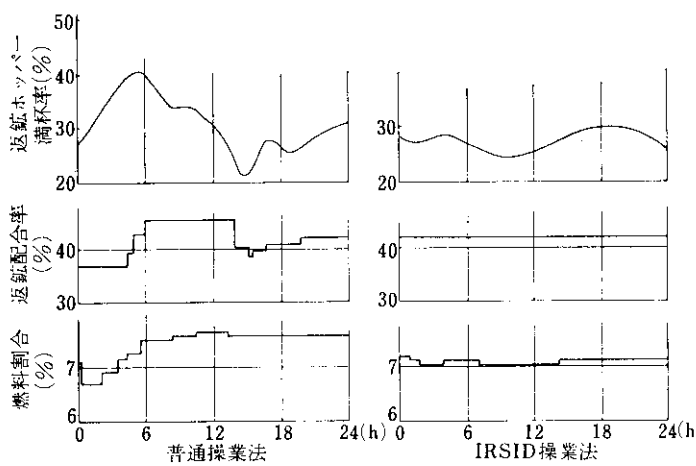


図22 烧結機制御方法

のみこの方法が利用される。

### 3. 烧結鉱製造工程の管理について

一定の良い品質の焼結鉱を高炉に供給するためには、返鉱の発生量と使用量をいかに安定化するかが重要なファクターとなる。以下返鉱に注目した焼結機の操業および管理方法について述べる。

#### 3.1 適正操業曲線について<sup>11)</sup>

フランス IRSID研究所で、ローレス鉱を焼結している工場の、生産量とコークス原単位、層厚および返鉱配合量の関係を解析したところ図21に示すような結果が得られた。

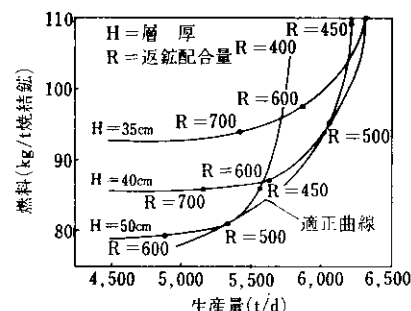


図21 ローレス鉱石の焼結の工業的試験（適正操業曲線）

図21によると、層厚を低くすればコークス原単位は上り、また層厚が等しい場合には、生産量は返鉱の減少とともに増大することがわかる。この適正操業曲線は生産量と燃料が適正にバランスする最も経済的な点を結んで求めたものであり、一定の生産量に対しては、適正な層厚返鉱配合量およびコークス使用量は一つの操業点しかないと示している。従来の方法では、返鉱ホッパーレベルが変動したとき、返鉱切出量および燃料使用量を加減・調整して

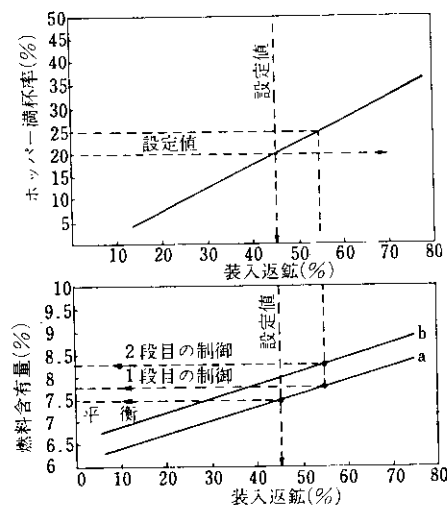


図23 返鉱と燃料含有量の制御

いたが、IRSIDは前述の結果から、コークス切出量のみを変化させて、操業を行なうことを考えた。図22には、従来の操業方法とIRSID方式による操業方式を示している。従来法では、返鉱ホッパーレベルが上れば、装入原料中の返鉱配合比をましコークスの割合もます。コークスを増やせば発生返鉱は少なくなるので、その時間では操業は平衡でなくなっている。したがってこの方法では、返鉱は返鉱ホッパーレベルの変動をより大きくする。IRSID方式は、返鉱の装入割合を適正操業曲線上の一点に固定し、燃料および混合原料の性質変動による非平衡を、燃料配合比のみで修正するような操業方式であるので、この結果図にみると返鉱ホッパーレベルは安定し、均一な品質の焼結鉱を得ることが出来る。

### 3・2 返鉱による自動制御

焼結鉱の品質安定には返鉱発生量、切出量の安定化が必要であり、このため最近の欧洲（主にベルギー、西独）では、従来のように返鉱は発生しただけ使用するという考え方から、積極的にその発生量を把握し、ひいては制御まで行なって品質を安定していくという考え方になって来つつある。

#### (1) ベルギーHadir社のDifferdange工場の例<sup>12)</sup>

同工場では、図23に示すように、返鉱ホッパーレベル、コークスの切出量および返鉱装入量を、次のような要領で制御している。すなわち、図23

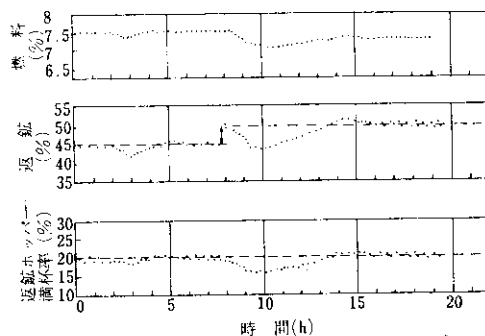


図24 返鉱設定値の変更による返鉱と燃料の制御

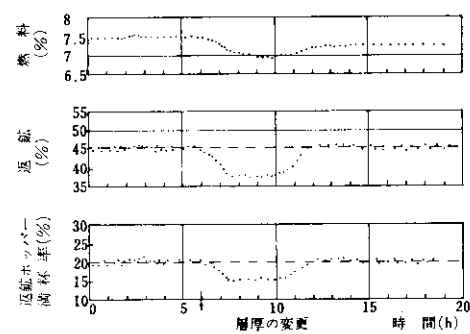


図25 層厚の増加による返鉱と燃料の制御

の上の図で、返鉱ホッパーレベルがたとえば20%から25%に変化した場合、図23下図で、あらかじめ求められた燃料含有量と装入返鉱の関係を示す直線aにより、コークスのアクション（コークス7.5%から7.8%）をとる。この場合原料が特に変わなければ、安定した平衡状態となる。しかし原料の性質（化学成分や粒度）が変って来た場合、直線aは別の関係直線bに移行するので、この直線にしたがって第2のアクション（すなわちコークス7.8%から8.3%）をとる。

この方法によって焼結機を自動制御した例が、図24と図25である。図24では返鉱の配合比を45%から50%に設定変更したとき、ホッパーレベルは20%からいったん16%に落ちてから6時間後に再び元へ戻り、燃料配合量も7.4%から下降している。図25は層厚を変更した場合で、返鉱レベルはいったん下り、また6時間後に元へ復し、返鉱装入配合比も同様な傾向をたどっている。このように従来の手動の返鉱の切出から、自動で返鉱を切

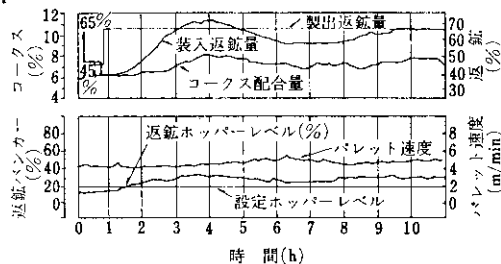


図26 返鉱バランス制御（製出返鉱の設定値が45%から65%に変更したとき）

出すことに成功した。

## (2) 西独の例<sup>18)</sup>

西独では、前例と同じように返鉱で制御する方法であるが、返鉱ホッパー内返鉱重量と発生返鉱パーセントをある一定値に設定し、アナログ・コンピューターを利用して、返鉱切出し量とコークス配合量を決定して行く方法をとっている。

図26は、返鉱切出し量設定を45%から65%にした場合の返鉱配合量、コークス配合量、ホッパー貯蔵量の変化を示し、図27は、返鉱ホッパーレベルを20%から10%に設定変更(1.8 hの時点)した例である。修正装置によって4%/hの速度で変更している。この間返鉱配合量は返鉱ホッパー内の貯蔵量を減ずるために、一時的に55%迄上昇している。この方法では階段状にホッパー設定値を変えないので、コークス切出量に対するオーバーアクションはなくなっている。

## 4. 焼結鉱の品質改善のための設備について

各国とも、焼結鉱品質改善のための設備に関する研究を重ねているようであるが、ここでは焼結鉱を運搬する途中の粉化を防止するため、英国のBISRA研究所で開発された耐粉碎性シート、および強度向上のためソ連で行なわれている焼結鉱の熱処理法について述べる。

### 4.1 耐粉碎性シートについて<sup>14)~16)</sup>

焼結鉱を高炉に装入する場合には、できるだけ粉の発生を少なくしなければならないこと、また焼結工場を出てからの粉鉱の発生は、コンベヤー

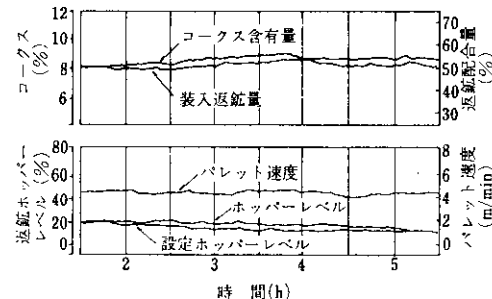


図27 返鉱の制御（返鉱ホッパーレベルを20%から10%に変更したとき）

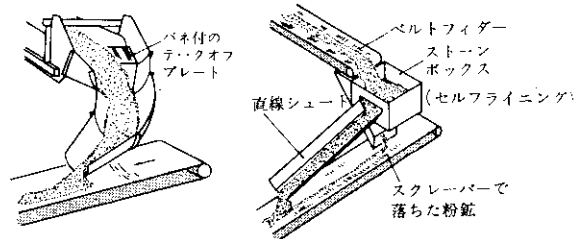


図28 90°右曲りの粉碎性シート

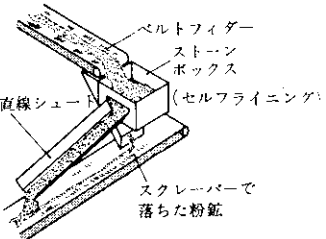


図29 ストーンボックスと直線シート

接合部で起こることは良く知られている。

英國のBISRA研究所では、耐粉碎性シートを開発研究している。図28に示す

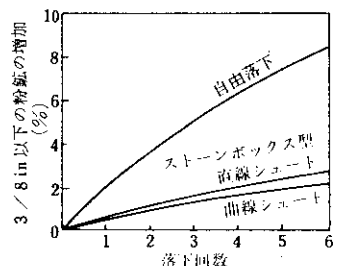


図30 粉化の比較

Goodall Clayton 社製の耐粉碎性シートや、図29のストーンボックス型の耐粉碎性シートについてテストを行なった結果、図30のような結果が得られ自由落下の場合と比較すると、両者共かなり微粉の発生量は少なくなっている。なお図28の Goodall Clayton 社製シートと、図29のストーンボックス型シートを比較した場合、次の理由でストーンボックス型シートが、有利であることが判明した。

- (1) 耐摩耗性ライナーがはりやすい。
- (2) 向きの変化がないので特定の部分だけのタ

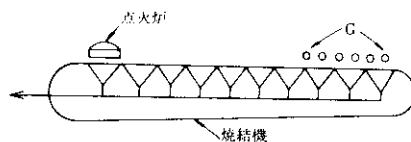


図 31 焼結機のガスバーナ（G）配置

イルが減る心配はない。

(3) 既設のコンベヤーに取付可能である。

#### 4・2 焼結鉱熱処理法<sup>17)</sup>について

焼結過程では熱膨張係数が異なる各組成の無数の結晶が生成するため内部歪が発生し、さらに生成焼結鉱の冷却過程でも内部歪が増加するといわれている。ソ連ではDL式焼結機の最終ウインドボックス附近で（図31参照）、焼結鉱を1,000～1,500°Cに再加熱する試験を行なった。数分間の加熱で内部歪は20%除去でき、1時間の加熱では、60%除去出来た。図32は熱処理を行なったことによって強度は向上し粉率が低下することを示している。Nizhni Jagilコンビナートで、実際の焼結機でテストしてみた所、生産性は10%向上し、S含有量は40%減少した。

### 5. 結　　び

以上最近の欧州において、焼結鉱製造プロセスで採用されている新しい技術についての大体の展望を与えた。これらをみると、最近の高炉の大型化および焼結鉱の大量使用により、焼結鉱品質に対する要求はさらに厳しくなって来ているために

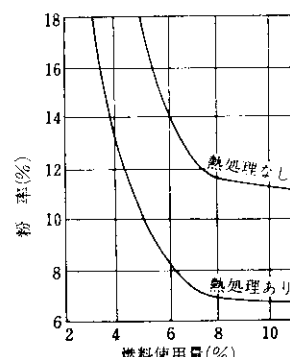


図 32 1.8mの高さから Krivoy Rog 焼結鉱を鉄板に 4 回落したときの -5mm の発生率

各国ともより良い品質の焼結鉱を安定して生産するべく努力が払われている。本文で述べたようにベルギーのC.N.R.M研究所ではより迅速な品質情報を得るために、焼結鉱の分子組成を調べることで強度を管理しようとしているし、また混合原料の適正水分を求めるために各国共努力をしているようである。英国BISRA研究所の耐粉砕性シートの開発は熔鉱炉へ装入する粉の発生を極力少なくするという意味で興味深い。そのほか操業条件改善としての返鉱発生量の安定化、焼結鉱の熱処理などによっても、品質向上の努力がなされている。

わが国の鉄鋼業においても、焼結鉱の質および量の高炉におよぼす影響は、従来から、よく研究されているが、今後は欧州のこれらの新技術に遅れをとらないように努力を続けていかなければならぬ。

### 参考文献

- 1) J. Hancart, et al : Centre Doc. Sidér., Circ. Inform. Tech., (1966) 9, 1851
- 2) G. Meunier, R. Holper : Metallurgical Reports C.N.R.M, (1966) 12, 17
- 3) A. Bragard, J. Hancart : Iron & steel Eng, (1968) 2, 87
- 4) A. Bragard : Centre Doc. Sidér., Circ. Inform. Tech., (1967) 11, 2345
- 5) G. Meunier : Metallurgical Reports C.N.R.M, (1966) 12, 12
- 6) L. Brhacek et al : Arch. Eisenhüttenw, (1968) 7, 447
- 7) P. M. Berry : J. Iron & steel Inst, 202 (1964) 7 569
- 8) H. Landgraf : Revue universelle des mine, (1967) 4, 93
- 9) V. A. Martynenko et al : Metallurg, (1967) 7, 3
- 10) V. I. Klassen : Gornyi Zhurnal, (1965) 6

- 11) M. Boucrault, R. Rochas : Rev. Mét., 65 (1968) 12, 835
- 12) D. Nick : Centre Doc. Sidér., Circ. Inform. Tech., (1967) 11, 2503
- 13) W. Friedewald : Stahl u. Eisen, 88 (1968) 8, 867
- 14) H. Hocke, K.T. Jones : Iron & Steel, (1968) 8, 335
- 15) K.T. Jones, H. Hocke : Iron & Steel, (1969) 2, 18
- 16) BISRA : Iron & Steel, (1967) 9, 386
- 17) E.F. Vegman : Metallurg, (1966) 10, 3~6